

УДК 539.3

© 1993 г. П. В. ТРЕТЬЯКОВ

ДИФРАКЦИЯ ПРОИЗВОЛЬНЫХ ПЛОСКИХ
И ЦИЛИНДРИЧЕСКИХ УПРУГИХ ВОЛН
НА ПОЛУПЛОСКОСТИ И НА ПОЛОСЕ КОНЕЧНОЙ ШИРИНЫ

В линейной постановке исследуется плоская нестационарная задача дифракции произвольных плоских и цилиндрических волн на абсолютно жесткой вставке, имеющей вид полуплоскости или полосы, в бесконечное упругое пространство.

Рассмотрение граничных условий свободного проскальзывания обеспечивает независимость начально-краевых задач для потенциалов волн растяжения-сжатия и сдвига, что позволяет решать задачу отдельно для продольных и поперечных волн [1—2]. Решение строится с помощью интеграла типа интеграла Диомеля, полученного ранее [3—4].

1. Рассмотрим упругую среду со скоростями распространения продольных и поперечных волн l и γ соответственно, в которую вставлена без трения абсолютно жесткая полуплоскость $\vartheta = 0,2\pi$, на ее поверхности выполняются условия $u_\theta = 0$, $\sigma_{rr} = 0$, где r , ϑ — цилиндрические координаты, с центром на кромке полуплоскости; u_θ , σ_{rr} — компоненты вектора смещения и тензора напряжений.

Пусть в момент времени $t = 0$ на кромку полуплоскости набегает продольная упругая волна с потенциалом

$$f(t, r, \alpha + \vartheta) H(\eta(t, r) - \cos(\alpha + \vartheta)) \quad (1.1)$$

являющаяся решением волнового уравнения

$$\frac{\partial^2 f}{\partial r^2} + \frac{1}{r} \frac{\partial f}{\partial r} + \frac{1}{r^2} \frac{\partial^2 f}{\partial \vartheta^2} - \frac{\partial^2 f}{\partial t^2} = 0 \quad (1.2)$$

Множитель в вид функции Хевисайда $H(t)$ в (1.1) свидетельствует о том, что фронт волны можно представить в виде

$$\eta(t, r) - \cos(\alpha + \vartheta) = 0 \quad (1.3)$$

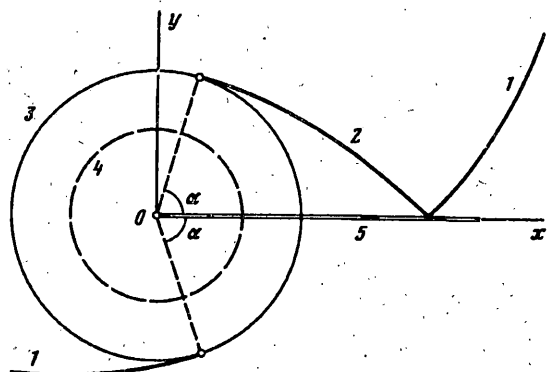
В такой же постановке решалась задача для плоской единичной волны [1] и волны с цилиндрической симметрией [2]. Следуя [2], получим, что задача сводится к поиску в области дифракции решения в виде продольного потенциала ψ , удовлетворяющего уравнению (1.2), и поперечного $-\psi$, удовлетворяющего уравнению

$$\frac{\partial^2 \psi}{\partial r^2} + \frac{1}{r} \frac{\partial \psi}{\partial r} + \frac{1}{r^2} \frac{\partial^2 \psi}{\partial \vartheta^2} - \frac{1}{r^2} \frac{\partial^2 \psi}{\partial t^2} = 0 \quad (1.4)$$

причем на поверхности полуплоскости ($\vartheta = 0, 2\pi$) выполняются условия

$$\partial \psi / \partial \vartheta = 0, \psi = 0 \quad (1.5)$$

Продольный и поперечный потенциал при $r \rightarrow 0$ связаны между собой условием ограниченности компонент вектора смещения



Фиг. 1

$$u_\theta, u_r = \text{const} + O(r^\epsilon), \epsilon > 0 \quad (1.6)$$

Картина дифракции представлена на фиг. 1, где 1 — падающая волна, 2 — отраженная волна, 3 — продольная дифракционная волна, 4 — поперечная дифракционная волна, 5 — полуплоскость.

2. В [3] при рассмотрении этой же задачи в акустическом приближении было показано, что ее удобнее свести к задаче дифракции отдельно падающей и отдельно отраженной волн на римановой поверхности с периодичностью 4π , а затем путем линейной комбинации полученных решений удовлетворить граничным условиям на полуплоскости. При этом можно решить задачу для $\alpha = 0$, и путем поворота на соответствующий угол (замены α на $(\alpha + \vartheta)$ или на $(\alpha - \vartheta)$) получить решение для падающей или отраженной волны. До прихода на разрез римановой поверхности падающая волна существует через лист (см. [3]), что можно отразить, домножив выражение (1.1) на $H(\sin(\alpha + \vartheta)/2)$. Решение в акустическом приближении, добавляемое к потенциалу (1.1) падающей волны, имеет вид

$$\Phi_a = \left[-\frac{1}{4\pi} \int_{-\mu}^{\mu} \Phi(t, r, R_w) \frac{\sin \vartheta/2}{u^2 + \sin^2 \vartheta/2} du + \right. \\ \left. + \frac{1}{2\pi i} \int_{\gamma} Z(t, r, R_w) \frac{\cos \vartheta/2}{w^2 - \cos^2 \vartheta/2} dw \right] H(\eta - 1) \quad (2.1)$$

$$\mu = [(\eta - 1)/2]^{1/2}, \quad v = [(\eta + 1)/2]^{1/2} t^2 = -1$$

$$\Phi(t, r, R_w) = f(t, r, -R_w) + f(t, r, R_w)$$

$$R_w = i, \quad \ln [(u^2 + 1)^{1/2} - u]^2$$

$$Z(t, r, R_w) = f(t, r, -R_w) - f(t, r, R_w)$$

$$R_w = i, \quad \ln [w - (w^2 - 1)^{1/2}]^2$$

Причем ядро в интегралах является производной по параметру интегрирования от решения задачи дифракции для плоской единичной волны. Для нахождения решений в упругом случае выпишем решение задачи дифракции плоской единичной продольной волны на римановой поверхности

$$\Phi = \Phi_a + \Phi_s = \left[\frac{1}{2} + \frac{1}{\pi} \operatorname{arctg} \frac{\sin \vartheta/2}{\mu} + \frac{4\gamma \sin \vartheta/2}{\pi(\gamma + 1)} \mu \right] H(\eta - 1) \\ \psi = -\frac{4(\gamma)^{1/2} \cos \vartheta/2}{\pi(\gamma + 1)} \bar{\mu} H(\bar{\eta} - 1) \quad (2.2)$$

$$\mu = [(\eta - 1)/2]^{1/2}, \quad \bar{\mu} = [(\bar{\eta} - 1)/2]^{1/2}$$

$$\eta = t/r, \quad \bar{\eta} = t/\bar{r}, \quad \bar{r} = r/\gamma$$

Можно убедиться, что при $r \rightarrow 0$ смещение не имеет особенности.

Пользуясь полученными выражениями нетрудно получить решение и в случае упругой волны (1.1). Оно имеет вид

$$\begin{aligned}\Phi &= \left\{ -\frac{\sin \theta/2}{4\pi} \int_{-\mu}^{\mu} \Phi(t, r, R_u) \left[\frac{1}{u^2 + \sin^2 \theta/2} - \frac{4\gamma}{\gamma + 1} \right] du + \right. \\ &\quad \left. + \frac{\cos \theta/2}{2\pi i} \int_v Z(t, r, R_w) \left[\frac{1}{w^2 - \cos^2 \theta/2} - \frac{4\gamma}{\gamma + 1} \right] dw \right\} H(\eta - 1) \quad (2.3) \\ \Psi &= \left\{ \frac{2(\gamma)^{1/2} \cos \theta/2}{\pi i (\gamma+1)} \int_v Z(t, \bar{r}, R_w) dw - \frac{(\gamma)^{1/2} \sin \theta/2}{(\gamma+1)} \int_{-\bar{\mu}}^{\bar{\mu}} \Phi(t, \bar{r}, R_u) du \right\} H(\bar{\eta} - 1)\end{aligned}$$

Здесь параметры с чертой отличаются от параметров без черты тем, что в них вместо r нужно брать r/γ . Остальные обозначения совпадают с принятыми в (2.1).

Удовлетворение полученных Φ и Ψ соответствующим волновым уравнениям следует из результатов [3]. Необходимо показать выполнение (1.6). Для этого удобнее рассмотреть отдельно случай плоской падающей волны

$$f(t, r, \theta) = g(t - r \cos \theta), \quad \eta = t/r \quad (2.4)$$

и отдельно цилиндрической (не обязательно обладающей цилиндрической симметрией):

$$f(t, r, \theta) = F(T, X, Y), \quad X = R_0 + r \cos \theta, \quad Y = r \sin \theta, \quad \eta = (T^2 - R_0^2 - r^2)/(2R_0 r) \quad (2.5)$$

Здесь $T = R_0 + t$ — время, отсчитываемое с момента возникновения цилиндрической волны, X, Y — декартовы координаты, отсчитываемые от центра цилиндрической волны, R_0 — расстояние от центра цилиндрической волны до кромки.

В случае (2.4) при $r \rightarrow 0$ получим

$$\begin{aligned}\frac{\partial \Phi}{\partial r} &\sim -\frac{\sin \theta/2}{2\pi (2r)^{1/2} (\gamma + 1)} \left\{ \int_{-t^{1/2}}^{t^{1/2}} g(t - v^2) \left[1 + \frac{\gamma}{rV^2} \right] dv + O(r) \right\} \\ \frac{1}{r} \frac{\partial \Phi}{\partial \theta} &\sim \frac{\sin \theta/2}{2\pi (2r)^{1/2} (\gamma + 1)} \left\{ \int_{-t^{1/2}}^{t^{1/2}} g(t - v^2) \left[1 + \frac{\gamma}{rv^2} \right] dv + O(r) \right\}\end{aligned}$$

Откуда видно, что u , не имеет особенности при $r \rightarrow 0$. Также показывается, что ограниченным является и u_u .

В случае (2.5), учитывая новые обозначения, получим

$$\begin{aligned}\frac{\partial \Phi}{\partial r} &\sim -\frac{\sin \theta/2}{4\pi (\gamma + 1)} \left(\frac{R_0}{r} \right)^{1/2} \left\{ \int_{-\mu_0}^{\mu_0} \Phi(T, X_0(v), Y_0(v)) \left[\frac{1}{v^2} + \frac{\gamma}{rR_0} \right] dv \right\} + \\ &\quad + \frac{\cos \theta/2}{2\pi i (\gamma + 1)} \left(\frac{R_0}{r} \right)^{1/2} \left\{ \int_{-\mu_0}^0 Z(T, X_0(v), Y_0(v)) \left[\frac{1}{v^2} - \frac{\gamma}{rR_0} \right] dv + O(r) \right\} \\ \frac{1}{r} \frac{\partial \Psi}{\partial \theta} &\sim \frac{\sin \theta/2}{4\pi (\gamma + 1)} \left(\frac{R_0}{r} \right)^{1/2} \left\{ \int_{-\mu_0}^{\mu_0} \Phi(T, X_0(v), Y_0(v)) \left[\frac{1}{v^2} + \frac{\gamma}{rR_0} \right] dv \right\} -\end{aligned}$$

$$-\frac{\cos \vartheta/2}{2\pi i(\gamma+1)} \left(\frac{R_0}{r}\right)^{1/2} \left\{ \int_{-\mu_0}^0 Z(T, X_0(v), Y_0(v)) \left[\frac{1}{v^2} - \frac{\gamma}{rR_0} \right] dv + O(r) \right\}$$

$$\Phi(T, X_0(v), Y_0(v)) = F(T, X_0(v), -Y_0(v)) + F(T, X_0(v), Y_0(v))$$

$$Z(T, X_0(v), Y_0(v)) = F(T, X_0(v), -Y_0(v)) - F(T, X_0(v), Y_0(v))$$

$$\mu_0 = [(R_0 + t)^2 - R_0^2]^{1/2}, \quad X_0(v) = R_0^2 + v^2/(2R_0), \quad Y_0(v) = iv^2/(2R_0)$$

Такие же соотношения нетрудно получить и для u_θ . Из этих соотношений следует, что u_θ и u , ограничены при $r \rightarrow 0$. Т. е. условия (1.6) выполняются для решения (2.5) в случае произвольных плоских и цилиндрических волн.

3. С помощью (2.1), (2.4) и (2.2), (2.5) можно получить ряд решений в виде элементарных функций. Так для плоской волны с потенциалом $1/(t - r \cos \vartheta)^{1/2}$ имеем

$$\varphi = \left[\frac{1}{2(t - r \cos \vartheta)^{1/2}} + \frac{(2)^{1/2}\gamma \sin \vartheta/2}{(\gamma + 1)(r)^{1/2}} \right] H(t - r)$$

$$\psi = -\frac{(2)^{1/2}\gamma \cos \vartheta/2}{(\gamma + 1)(r)^{1/2}} H(\gamma t - r)$$

Для плоской волны с потенциалом $(t - r \cos \vartheta)^{1/2}$ получим

$$\varphi = \left[\frac{(t - r \cos \vartheta)^{1/2}}{2} + \frac{(2r)^{1/2}}{2} \sin \vartheta/2 + \frac{(t - r)^{1/2}\gamma \sin \vartheta/2}{(\gamma + 1)(2r)^{1/2}} \right] H(t - r)$$

$$\psi = -\frac{(\gamma t - r) \cos \vartheta/2}{(\gamma + 1)(2r)^{1/2}} H(\gamma t - r)$$

Для волны с цилиндрической симметрией, имеющей потенциал $1/(T^2 - R^2)^{1/2}$, $R^2 = X^2 + Y^2 = R_0^2 + r^2 + 2R_0 r \cos v$, найдем

$$\varphi = \left[\frac{1}{2(T^2 - R^2)^{1/2}} + \frac{\gamma \sin \vartheta/2}{(\gamma + 1)(R_0 r)^{1/2}} \right] H(t - r)$$

$$\psi = -\frac{\gamma \cos \vartheta/2}{(\gamma + 1)(R_0 r)^{1/2}} H(\gamma t - r)$$

И, наконец, для цилиндрической волны с потенциалом $\ln[T/R - (T^2/R^2 - 1)^{1/2}]$ имеем

$$\varphi = \left\{ \frac{1}{2} \ln \left[\frac{T}{R} - \left(\frac{T^2}{R^2} - 1 \right)^{1/2} \right] + \frac{1}{4} \ln \frac{R_0 + r + 2(R_0 r)^{1/2} \sin \vartheta/2}{R_0 + r - 2(R_0 r)^{1/2} \sin \vartheta/2} - \right. \\ \left. - \frac{\gamma \sin \vartheta/2}{(\gamma + 1)(R_0 r)^{1/2}} \right\} H(t - r)$$

$$\psi = -\frac{(\gamma t - r) \cos \vartheta/2}{(\gamma + 1)(R_0 r)^{1/2}} H(\gamma t - r)$$

4. Рассмотрим теперь падение волны с поперечным потенциалом φ , задаваемым формулой (1.1), в которой вместо r необходимо взять r/γ , а в случае цилиндрических волн кроме этого необходимо произвести замену R_0 на R_0/γ .

Для плоской единичной волны при дифракции на римановой поверхности с периодичностью $4l$ получим

$$\varphi = \left[\frac{1}{2} + \frac{1}{\pi} \operatorname{arctg} \frac{\sin \vartheta/2}{\bar{\mu}} + \frac{4\bar{\mu} \sin \vartheta/2}{\pi(\gamma+1)} \right] H(\bar{\eta}-1)$$

$$\psi = -\frac{4(\gamma)^{1/2} \cos \vartheta/2}{\pi(\gamma+1)} \bar{\mu} H(\bar{\eta}-1)$$

Обозначения в приведенной формуле такие же как и для (2.2). Формула (2.3) переходит в

$$\begin{aligned} \varphi &= \left\{ -\frac{\sin \vartheta/2}{4\pi} \int_{-\bar{\mu}}^{\bar{\mu}} \Phi(t, \bar{r}, R_w) \left[\frac{1}{u^2 + \sin^2 \vartheta/2} - \frac{4}{\gamma+1} \right] du + \right. \\ &\quad \left. + \frac{\cos \vartheta/2}{2\pi i} \int_v Z(t, \bar{r}, R_w) \left[\frac{1}{w^2 - \cos^2 \vartheta/2} - \frac{4}{\gamma+1} \right] dw \right\} H(\bar{\eta}-1) \end{aligned} \quad (4.1)$$

$$\psi = \left\{ \frac{(\gamma)^{1/2} \cos \vartheta/2}{\pi(\gamma+1)} \int_{-\bar{\mu}}^{\bar{\mu}} \Phi(t, r, R_w) du - \frac{2(\gamma)^{1/2} \sin \vartheta/2}{\pi i(\gamma+1)} \int_v Z(t, r, R_w) dw \right\} H(\eta-1)$$

Выбранные в данной формуле обозначения совпадают с принятymi в (2.3). Однако в случае цилиндрических волн нужно не забыть везде заменить R_0 на R_0/γ .

5. Теперь рассмотрим решение задачи дифракции на полуплоскости. При падении продольной волны поступаем следующим образом. В формуле (2.3) заменяем ϑ на $(\alpha + \vartheta)$ и получаем для волны (1.1) решение задачи дифракции на римановой поверхности. Для отраженной волны — заменим ϑ на $(\alpha - \vartheta)$. Кроме того для удовлетворения условиям на кромке в выражениях для ψ нужно поменять знак перед решением. Полученные результаты необходимо сложить. При этом решение для продольного потенциала удовлетворяет первому из соотношений (1.5), а для поперечного — второму.

Если проделать, описанную выше процедуру для плоской единичной волны (2.2), то получим

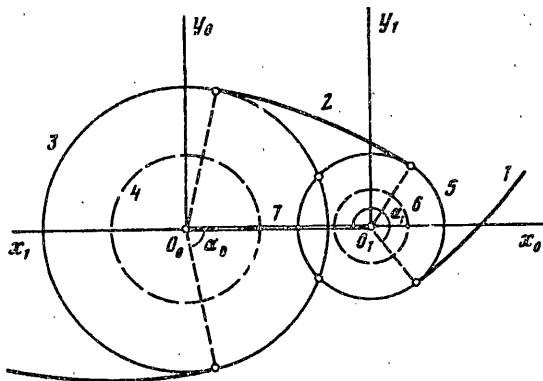
$$\begin{aligned} \varphi &= \left[1 + \frac{1}{\pi} \operatorname{arctg} \frac{\sin(\alpha + \vartheta)/2}{\mu} + \frac{1}{\pi} \operatorname{arctg} \frac{\sin(\alpha - \vartheta)/2}{\mu} + \right. \\ &\quad \left. + \frac{8\gamma \sin \alpha/2 \cos \vartheta/2}{\pi(\gamma+1)} \mu \right] H(\eta-1) \\ \psi &= -\frac{8(\gamma)^{1/2} \sin \alpha/2 \sin \vartheta/2}{\pi(\gamma+1)} \bar{\mu} H(\bar{\eta}-1) \end{aligned}$$

Этот результат совпадает с приведенным в [1, 2] при $l=1/2$, если исправить некоторые неточности, в частности в продольном потенциале исправить множитель перед дополнением к акустическому решению.

Такой же путь необходимо проделать и для получения решения при падении волны с поперечным потенциалом. Только знак будет изменяться на противоположный перед φ , а также будет браться разность решений для падающей и отраженной волн. Причем в этом случае решение плоской единичной волны полностью совпадает с приведенным в [1] при $l=1/2$.

6. В работе [4] было получено решение произвольной акустической волны на полосе конечной ширины. При рассмотрении задачи дифракции произвольной продольной волны вида (1.1) используется такой же подход. В начале ищется решение на римановом многообразии, соответствующем полосе конечной ширины, а затем путем линейной комбинации полученных результатов для падающей и отраженной волн находится решение задачи дифракции на полосе.

Введем системы координат, связанные с кромками полосы. Первая из них имеет начало на кромке O_0 (первая кромка), ось x_0 направлена от первой кромки ко второй (O_1), а ось y_0 — перпендикулярно оси x_0 (фиг. 2). Вторая система



Фиг. 2

координат связана с первой соотношениями $y_1 = y_0$, $x_1 = a - x_0$. Здесь a — ширина полосы. Пусть для первой из этих систем потенциал падающей волны имеет вид

$$f_0(t_{01}, r_0, \alpha_0 + v_0) H(\eta_{01}(t_{01}, r_0) - \cos(\alpha_0 + v_0))$$

$$r_0^2 = x_0^2 + y_0^2, v_0 = \operatorname{arctg}(y_0/x_0)$$

Здесь t_{01} — время, отсчитываемое с момента прихода волны на ребро O_0 , $\alpha_0 = \text{const}$ — угол между нормалью к фронту волны и поверхности полосы.

Фронт волны представим в виде (1.3), где все переменные имеют индексы 0, а функции и время — индекс 01. Тогда фронт продольной дифрагированной волны можно представить в виде $\eta_{01}(t_{01}, r_0) = 1$ или $\mu_{01}(t_{01}, r_0) = ((\eta_{01} - 1)/2)^{1/2} = 0$, а для поперечной соответственно $\bar{\eta}_{01} = \eta_{01}(t_{01}, \bar{r}_0) = 1$, $\bar{\mu}_{01} = \mu_{01}(t_{01}, \bar{r}_0) = 0$, $\bar{r}_0 = r_0/\gamma$.

Решение Φ_{01}, ψ_{01} задачи дифракции этой волны на ребре O_0 дается формулой (2.3). Первая цифра в индексе функции означает номер ребра, а вторая — порядковый номер дифракции.

При рассмотрении дифракции падающей волны на втором ребре (O_1) удобнее представить ее в координатах, связанных с этим ребром

$$f_1(t_{11}, r_1, \alpha_1 + \vartheta_1) H(\eta_{11}(t_{11}, r_1) - \cos(\alpha_1 + \vartheta_1))$$

$$r_1^2 = x_1^2 + y_1^2, v_1 = \operatorname{arctg}(y_1/x_1)$$

Здесь t_{11} — время, отсчитываемое с момента прихода волны на кромку O_1 . Уравнения фронтов возникающих продольной и поперечной волн будут соответственно $\mu_{11}(t_{11}, r_1) = 0$, $\bar{\mu}_{11} = \mu_{11}(t_{11}, \bar{r}_1) = 0$, $\bar{r}_1 = r_1/\gamma$, а решение Φ_{11}, ψ_{11} так же дается формулой (2.3).

При возникновении области пересечения цилиндрических волн дифракции от разных кромок (фиг. 2) дополнительные решения суммируются (I — падающая волна, 2 — отраженная, $3, 5$ — продольные дифракционные волны, $4, 6$ — поперечные волны, 7 — пластина).

В момент $t_{01} = a$ продольная дифракционная волна, возникающая на ребре O_0 , приходит на второе ребро (O_1) и начинается вторичная дифракция.

В [4] было показано, что если волна присутствует на обоих листах римановой поверхности и является антисимметричной по листам, т. е. $f(t, r, \vartheta) = f(t, r, \vartheta + 4\pi k)$ ($k = 0; \pm 1; \pm 2 \dots$), $f(t, r, -\vartheta) = -f(t, r, \vartheta)$, то в решении (2.2) пропадает второй интегральный член, а первый — удваивается. То же самое нетрудно показать и для (2.3).

Если ввести $\vartheta_3 = \pi - \vartheta_1$, то можно показать, что продольная дифрагированная

волна, возникающая на первом ребре, будет являться антисимметричной по листам римановой поверхности.

Запишем потенциал этой волны в координатах, связанных со вторым ребром $f_{12}(t_{12}, r_1, \vartheta_3) \operatorname{sign} [\sin(\alpha_0 + \vartheta_0)/2]$.

Решение добавляемое к этому потенциальному будет иметь вид

$$\begin{aligned}\Phi_{12} &= -\frac{\sin \vartheta_3/2}{2\pi} \int_{-\mu_{12}}^{\mu_{12}} \Phi_{12}(t_{12}, r_1, R_u) \left[\frac{1}{u^2 + \sin^2 \vartheta_3/2} - \frac{4\gamma}{\gamma + 1} \right] du H(\mu_{12}) \\ \psi &= -\frac{2(\gamma)^{1/2} \cos \vartheta_3/2}{\pi(\gamma + 1)} \int_{-\mu_{12}}^{\mu_{12}} \Phi_{12}(t_{12}, \bar{r}_1, R_u) du H(\mu_{12})\end{aligned}\quad (6.1)$$

Здесь $t_{12} = (t_{01} - a)$ — момент прихода продольной дифракционной волны на второе ребро, а все остальные обозначения такие же как и в (2.5), если заменить координаты r , ϑ на r_1 , ϑ_3 .

Точно такая же операция производится и для получения решения задачи дифракции продольной волны, возникающей на втором и на первом ребрах. Необходимо сделать замену $\vartheta_2 = \pi - \vartheta_0$.

Полное решение внутри рассмотренных областей (и каждой из получающихся далее) складывается из всех прошедших через эти области волн.

Теперь рассмотрим дифракцию поперечной волны, возникающей на первом и на втором ребрах. Она начинается в момент $t'_{12} = t_{01} - \bar{a} = 0$, $\bar{a} = a/\gamma$. Потенциал этой волны в координатах, связанных со вторым ребром, можно представить в виде $f_{12}(t_{12}', \bar{r}_1, \vartheta_3) \operatorname{sign} [\cos(\alpha_0 + \vartheta_0)/2]$.

Нетрудно убедиться, что этот потенциал будет антисимметричным по листам, и так же как и для продольных волн в выражении (4.1) необходимо оставить только удвоенный первый интегральный член. Окончательно получим

$$\begin{aligned}\Psi_{12}^* &= -\frac{\sin \vartheta_3/2}{2\pi} \int_{-\mu_{12}^*}^{\mu_{12}^*} \Phi_{12}^*(t_{12}^*, r_1, R_u) \left[\frac{1}{u^2 + \sin^2 \vartheta_3/2} - \frac{4}{\gamma + 1} \right] du H(\mu_{12}^*) \\ \Psi_{12}^* &= -\frac{2(\gamma)^{1/2} \cos \vartheta_3/2}{\pi(\gamma + 1)} \int_{-\mu_{12}^*}^{\mu_{12}^*} \Phi_{12}^*(t_{12}^*, r_1, R_u) du H(\mu_{12}^*)\end{aligned}$$

$$\mu_{12}^*(t_{12}^*, \bar{a}, \bar{r}_1) = \{[(t_{12}^* + \bar{a})^2 - (\bar{a} + \bar{r}_1)^2]/(4\bar{a}, r_1)\}^{1/2}$$

$$\mu_{12}^* = \mu_{12}^*(t_{12}^*, \bar{a}, r_1)$$

При приходе любой из возникающих в дальнейшем на одном из ребер волн на второе ребро необходимо представить ее в координатах, связанных с рассматриваемым ребром и воспользоваться формулой (6.1) для продольных волн и формулой (6.2) — для поперечных.

7. Для построения решения задачи дифракции на полосе конечной ширины необходимо вначале получить решение для отраженной волны. Для этого во всех построениях для падающей волны необходимо заменить ϑ на $4\pi - \vartheta$ с соответствующими индексами. Кроме того нужно во всех дополнительных к акустическому решению заменить знак перед волной другой направленности. Например, если дифрагирующая волна является продольной, то знак меняется для возникающей поперечной волны, и наоборот.

Затем полученные решения для падающей и отраженной волн необходимо сложить. Причем за счет изменения знака перед волнами противоположной направленности граничные условия на поверхности полосы будут удовлетворяться (для продольных волн — условие непротекания, а для поперечных — $\psi = 0$).

Таким образом задача дифракции на полосе конечной ширины полностью решена. Тем же самым методом решается задача дифракции на щели конечной ширины.

СПИСОК ЛИТЕРАТУРЫ

1. Костров Б. В. Дифракция плоской волны на жестком клине, вставленном без трения в безграничную упругую среду // ПММ. 1966. Т. 30. Вып. 1. С. 198—203.
2. Поручиков В. Б. Дифракция цилиндрической упругой волны на клине // Изв. АН СССР. МТТ. № 5. С. 136—144.
3. Третьяков П. В. Интегральные решения волнового уравнения и задача дифракции произвольной акустической волны на клине // ПММ. 1991. Т. 55. Вып. 2. С. 250—255.
4. Третьяков П. В. Дифракция произвольной акустической волны на полосе конечной ширины // Изв. АН СССР. МЖГ. 1991. № 2. С. 171—175.

Калининград

Поступила в редакцию
23.V.1991